

شبیه‌سازی انسداد هدایت عصب بوسیله اعمال جریان متناوب فرکانس بالا با شکل موج مربعی نامتقارن و بررسی مکانیزم اثر آن

علیرضا آریان فر^۱، امین مهنان^{*}

مقاله پژوهشی

چکیده

مقدمه: استفاده از جریان‌های متناوب فرکانس بالا روشی ایمن، بازگشت‌پذیر و دارای خاصیت انتخابی برای انسداد الکتریکی عصب و جلوگیری از انتشار پالس‌های عصبی است که در دهه گذشته جهت درمان بیماری و ناتوانی‌های مرتبط با پالس‌های عصبی ناخواسته، مورد توجه محققین قرار گرفته است. با این حال کاهش دامنه تحریک، از بین بردن پاسخ هجومی اولیه و بهینه‌سازی پارامترهای تحریک برای کاربردهای مختلف همچنان مورد بررسی قرار دارد. در این مطالعه با شبیه‌سازی انسداد فیبرهای عصبی، کارآیی شکل موج پیشنهادی دوفاز نامتقارن در القای بلوك عصبی و مکانیزم اثر آن مورد ارزیابی قرار گرفت.

مواد و روش‌ها: شبیه‌سازی به وسیله مدل بسیار دقیقی از اکسون مایلین دار پستانداران انجام شد. تحریک الکتریکی یک فیبر عصبی شامل ۵۱ گره رانویه با دو الکترود نقطه‌ای یکی برای ایجاد بلوك و دیگری برای ایجاد پتانسیل عمل تست شبیه سازی شد و رفتار فیبر عصبی از جمله پدیده انسداد و مکانیزم تحقق آن مورد بررسی قرار گرفت.

یافته‌ها: اعمال تحریک متناوب فرکانس بالا در حالت کلی سه رفتار متفاوت را در فیبر القامی نماید. عدم پاسخ به تحریک، آتش شدن متناوب فیبر یا بلوك شدن فیبر پس از چندین بار آتش. با کاهش تقارن شکل موج پیشنهادی دوفاز نامتقارن، آستانه لازم برای القای انسداد الکتریکی در فیبرهای عصبی کاهش می‌یابد. اعمال تحریک باعث افزایش متوسط ولتاژ غشاء می‌شود که می‌تواند منجر به کاهش تحریک‌پذیری غشاء و بلوك شدن فیبر گردد.

نتیجه‌گیری: استفاده از شکل موج دوفاز نامتقارن در ایجاد انسداد عصبی سبب کارآیی بالای این روش در بکارگیری بالینی می‌شود. اعمال این شکل موج باعث کاهش مصرف انرژی سیستم تحریک و همچنین کاهش آسیب به بافت شده و این مساله می‌تواند گامی موثر در جهت استفاده بالینی از این روش برای کاهش درد، و یا ایجاد بی‌حسی باشد.

کلید واژه‌ها: جریان‌های متناوب فرکانس بالا، شکل موج دوفاز نامتقارن، مکانیزم انسداد فیبر عصبی، شبیه‌سازی کامپیوتری.

ارجاع: آریان فر، علیرضا، مهنان امین. شبیه‌سازی انسداد هدایت عصب بوسیله اعمال جریان متناوب فرکانس بالا با شکل موج مربعی نامتقارن و بررسی مکانیزم اثر آن. پژوهش در علوم توانبخشی ۱۳۹۳؛ ۱۰(۱): ۹۹-۱۱۲.

تاریخ پذیرش: ۱۳۹۳/۲/۲۱

تاریخ دریافت: ۱۳۹۲/۵/۳۱

* استادیار گروه مهندسی پزشکی، دانشکده فنی و مهندسی، دانشگاه اصفهان، اصفهان، ایران (نویسنده مسؤول)

Email: mahnam@eng.ui.ac.ir

- کارشناس ارشد، گروه مهندسی پزشکی، دانشکده فنی مهندسی، دانشگاه اصفهان، اصفهان، ایران

بررسی مکانیزم انسداد فرکانس بالا پرداختند و پیشنهاد کردند که جریان متناوب فرکانس بالا موجب دپلاریزاسیون غشاء عصب در ناحیه وسیعی از فیبر می‌شود که در چندین گره بدون هیچ نقطه هایپرپلاریزه شده در یک حالت پایدار باقی می‌ماند. دپلاریزاسیون غشاء عصب باعث افزایش آستانه فعالیت و تولید انسداد هدایت می‌شود (۷).

Tai و همکاران در سال ۲۰۰۵ با شبیه‌سازی بوسیله‌ی مدل Hodgkin-Huxley نشان دادند که جریان الکتریکی سینوسی نسبت به پالس مرتعی دوفاز در همان فرکانس، کارائی کمتری برای انسداد عصب دارد. آنها همچنین پیشنهاد کردند که فعال شدن کانالهای پتانسیمی بیش از غیر فعال شدن کانالهای سدیمی، مکانیزم ممکن برای انسداد اکسون بدون مایلین به وسیله جریان متناوب فرکانس بالای دو فاز (مرتعی متقارن یا سینوسی) است (۸).

Tai و همکاران در همان سال با شبیه‌سازی دیگری با مدل هاجکین-هاکسلی دریافتند تحریکی که در آن عرض پالس با فرکانس تغییر می‌کند، از شکل موجی که عرض پالس ثابتی دارد، برای مسدود کردن هدایت عصب موثرتر است (۹). در مقاله‌های محدودی که اثر شکل موج را بر انسداد هدایت عصب بررسی کرده‌اند، عموماً حالت‌های مختلفی از شکل موج‌های سینوسی و مرتعی متقارن مورد استفاده قرار گرفته‌است. در مقاله حاضر با شبیه‌سازی فیبرهای عصبی اثر شکل موج مرتعی نامتقارن بر آستانه انسداد هدایت یک عصب مورب بررسی قرار گرفته و مکانیزم اثر آن نیز با تمرکز بر روی ولتاژ غشاء و جریانهای یونی و دینامیک کانالهای یونی بررسی شده است. شکل موج مرتعی نامتقارن، حالت کلی تر شکل موج مرتعی است که در آن دو فاز مثبت و منفی شکل-موج اگر چه سطح زیر منحنی یکسانی دارند، اما دارای دامنه یکسانی نیستند. با افزایش دامنه یک فاز، طبعاً عرض پالس به همان نسبت کاهش می‌یابد تا بار خالص تزریقی در یک پریود از تحریک برابر صفر بماند و در حالت حدی یعنی کاهش عرض پالس مثبت به سمت صفر و افزایش دامنه آن به سمت بینهایت و همینطور افزایش عرض پالس منفی و کاهش دامنه

مقدمه

پالس‌های عصبی ناخواسته، در بخش‌های مختلف سیستم عصبی، می‌توانند موجب انواعی از ناتوانی‌ها و بیماری‌ها شوند. سیگنال‌های ناخواسته حسی بعد از درمان سرطان و یا قطع عضوی از بدن، باعث احساس درد می‌شوند. سیگنال‌های ناخواسته حرکتی نیز برای مثال در بیمارانی که دچار سکته شده‌اند، تولید تشنج و لرزش می‌کنند و یا در بیماری پارکینسون، تیک و اسپاسم ماهیچه‌ای را به وجود می‌آورند (۱). از سوی دیگر، فعالیت ناخواسته‌ی دستگاه عصبی خودکار نیز می‌تواند منجر به شرایطی از قبیل تعرق بیش از حد و یا خارج شدن بیش از حد آب دهان گردد. اگر از انتشار این سیگنال‌های عصبی جلوگیری شود، می‌توان شرایط ناتوان کننده را کاهش داده و یا حذف کرد (۲).

در گذشته برای جلوگیری از انتشار ایمپالس‌های ناخواسته در اعصاب یا به عبارت دیگر انسداد هدایت الکتریکی عصب، روش‌های مختلفی از جمله روش‌های حرارتی، دارویی و جراحی مورد استفاده قرار گرفته است که دارای مشکلاتی از قبیل اثرات جانبی جدی، نرخ موفقیت کم، آسیب دیدگی غیرقابل بازگشت عصب و یا بافت اطراف و اثرگذاری روی بخش‌های دیگر سیستم عصبی (بدلیل نبود خاصیت انتخابی) بوده‌اند (۳،۲). از این رو در سال‌های اخیر توجه زیادی به امکان انسداد هدایت الکتریکی عصب به وسیله‌ی جریان‌های متناوب فرکانس بالا (HFAC) بعنوان روشی جایگزین شده است که یک روش ایمن، قابل اعتماد، دارای خاصیت انتخابی و بازگشت پذیری سریع می‌باشد (۴،۵).

اهمیت خاصیت انتخابی و همچنین بازگشت پذیر بودن این روش در درمان بیمارانی که به دلیل ضایعه نخاعی دچار انواع اختلالات کنترل و یا دفع ادرار هستند بیشتر مشخص می‌شود. تحقیقات نشان داده که بهترین روش برای درمان این بیماری، انسداد هدایت الکتریکی عصب به وسیله‌ی جریانهای متناوب فرکانس بالا می‌باشد (۶،۴).

Bhadra و همکاران در سال ۲۰۰۷ با آزمایش بر روی عصب شرمگاهی گربه‌ی بالغ، با اعمال شکل موج سینوسی به

استفاده گردید. در این مطالعه اثر تحریک فرکانس بالا با شکل موج دوفاز نامتقارن مورد بررسی قرار گرفت. موج مربعی دوفاز نامتقارن شکل موجی است که با وجود عدم تقارن بین فازهای مثبت و منفی آن، بار خالصی را به بافت تزریق نمی‌کند (سطح زیر منحنی برای یک پریوید برابر صفر است). مدل شامل ۵۱ گره از یک اکسون می‌باشد. همان‌طور که در شکل (۲) مشاهده می‌شود یک الکترود خارج سلولی که با یک منبع نقطه‌ای مدل شده در مقابل گرهی میانی (گرهی ۲۵) قرار گرفته است و موج سینوسی فرکانس بالا را به محیط خارج سلولی اعمال می‌کند. فرض بر این بوده که اکسون در محیط همگن بینهایت با ضریب مقاومت ویژه 500 اهم سانتیمتر قرار دارد. پتانسیل خارج سلولی تولید شده توسط الکترود نقطه‌ای خارج سلولی در هر کدام از قسمت‌های مدل از رابطه‌ی (۱) محاسبه می‌شود:

$$V_e(j) = \frac{\rho_e I_{ext}}{4\pi\sqrt{(X_{elec}-X(j))^2 + (Y_{elec}-Y(j))^2}} \quad (1)$$

که در آن ρ_e مقاومت ویژه محیط خارج سلولی، I_{ext} دامنه‌ی جریان اعمال شده توسط الکترود نقطه‌ای، Y_{elec} فاصله‌ی الکترود از اکسون (که برابر 1 میلیمتر می‌باشد)، X_{elec} مکان الکترود در طول اکسون و X و Y موقعیت نقطه‌ای است که پتانسیل در آن نقطه مورد نظر است [۱۱].

شبیه‌سازی‌های کامپیوتراً توسط نرم‌افزار NEURON (نسخه ۷/۱) انجام شد. مدل به وسیله‌ی روش انتگرال‌گیری ضمنی اوبلر با فاصله زمانی 0.001 میلی ثانیه حل شد. مدت زمان شبیه‌سازی شده 50 میلی ثانیه بود. برای مشاهده‌ی بهتر روند انسداد و روی هم نیفتادن پتانسیل عمل تولید شده توسط الکترود تست و پاسخ هجومی اولیه (Onset response) تولید شده توسط الکترود انسداد، پالس تست 40 میلی ثانیه بعد از شروع شبیه‌سازی اعمال شد. داده‌های حاصل از اجرای برنامه در نرم افزار NEURON به صورت یک فایل نوشتاری به نرم‌افزار MATLAB منتقل و در آنجا رسم شده و مورد

آن به سمت صفر، شکل موج در هر پریوید، به یک تحریک بسیار کوتاه و قوی، و پس از آن یک تحریک معکوس ضعیف اما طولانی تبدیل می‌شود.

هدف از این مطالعه، یافتن شکل موجی مناسب برای افزایش کارآیی تحریک متناوب فرکانس بالا در ایجاد انسداد عصبی با حداقل کردن بار تزریقی به بافت و در نتیجه کمترین آسیب بوده است و به این منظور با انجام شبیه‌سازی‌های کامپیوتراً، کارآیی شکل موج مستطیلی دوفاز نامتقارن مورد بررسی قرار گرفته است.

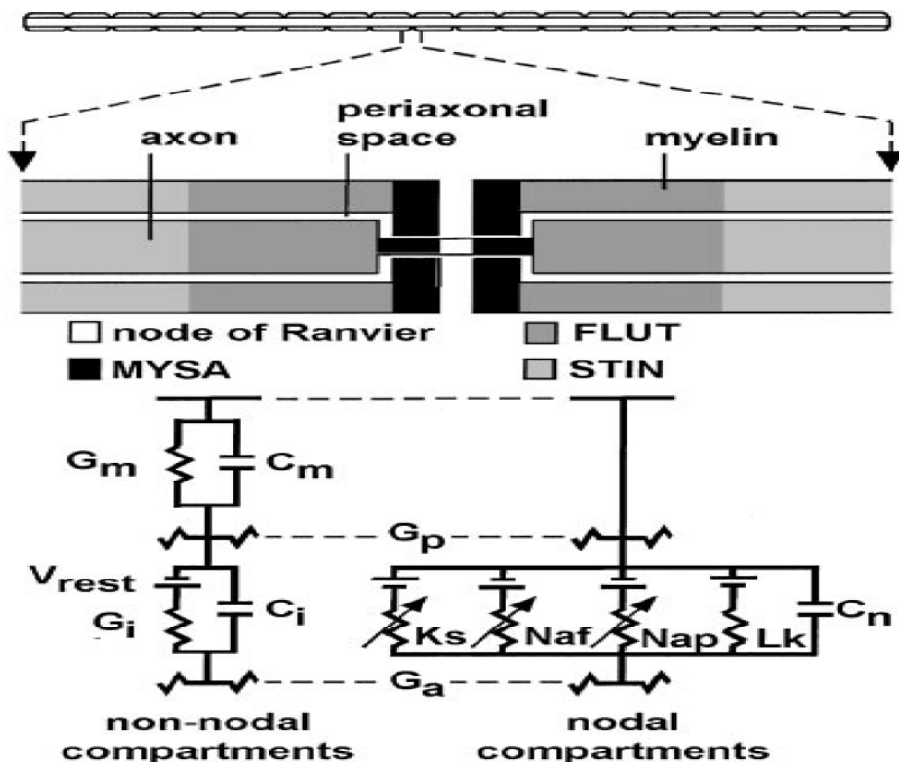
مواد و روش‌ها

در این مطالعه برای بررسی پاسخ فیبرهای عصبی به تحریک از مدل محاسباتی MRG (۱۰) برای شبیه‌سازی تحریک الکتریکی فیبرهای عصبی استفاده شد. مدل MRG مدل دقیق و نزدیک به واقع از اکسون‌های مایلین دار در پستانداران است که در آن هم گره‌های رانویه و هم بخش مایلین دار اکسون بطور دقیق مدل شده‌اند (شکل ۱).

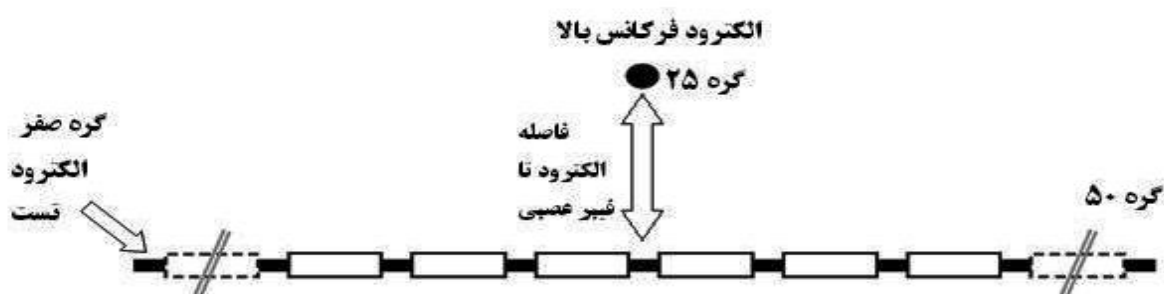
این مدل دو کابلی در واقع بصورت دو کابل داخل هم برای محیط داخل اکسون و فضای بین اکسون و مایلین در نظر گرفته شده است و برای گره رانویه شامل کanal‌های سدیمی سریع، کanal‌های سدیمی دائمی، کanal‌های پتانسیمی کند، کanal‌های نشستی و ظرفیت خازنی غشاء است. ناحیه‌ی بین گره‌ای نیز به عنوان یک مدار تشکیل شده از دو لایه اجزای خطی مدل شده است. تمام معادلات و پارامترهای استفاده شده در این مدل برای فیبرهایی با قطر $5/7$ تا 16 میکرومتر توسط McIntyre و همکاران توصیف شده‌اند (۱۰). در این مدل، بجای رابطه‌ی سرانگشتی بین قطر اکسون و فاصله بین دو گره ($\Delta x=100d$) از پارامترهای دقیق‌تری استفاده شده است. مدل MRG با مقایسه پارامترهای مختلفی از داده‌های تجربی با نتایج شبیه‌سازی از جمله شکل موج پتانسیل عمل حاصل، پس‌پتانسیل‌ها، سرعت هدایت و غیره اعتبارسنجی شده است (۱۰).

به منظور اعمال اثر تحریک خارج سلولی به مدل MRG، از مکانیزم extracellular در محیط نرم‌افزار NEURON

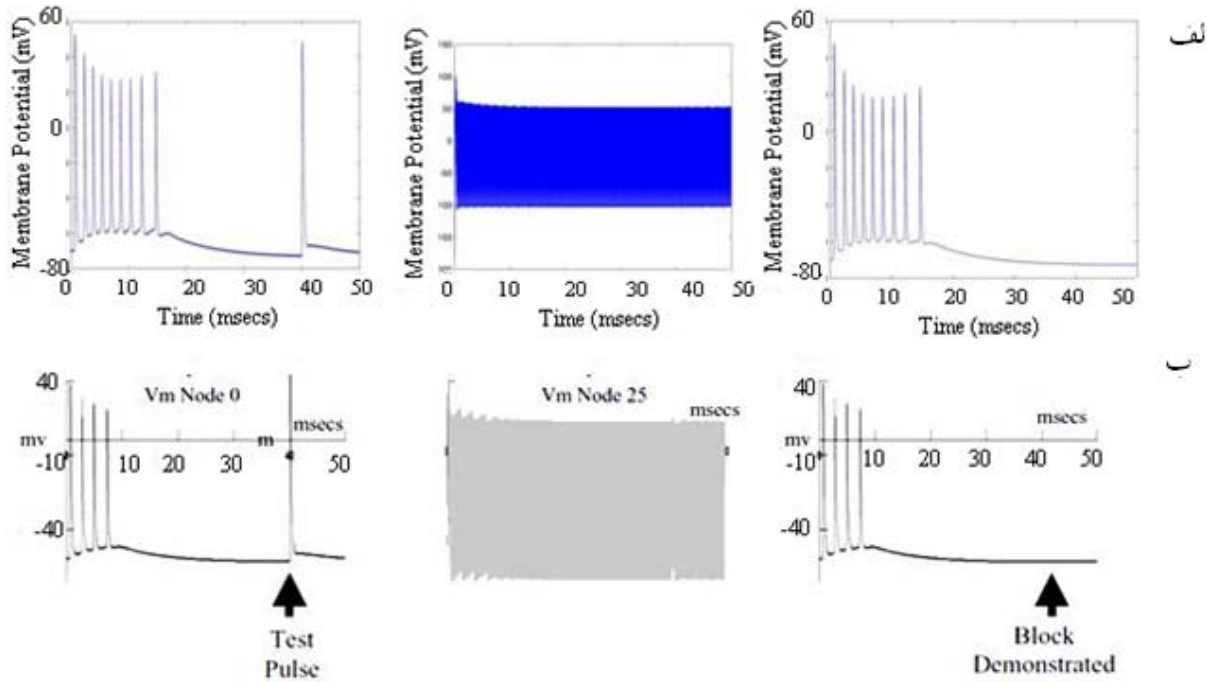
ارزیابی قرار گرفت. گزارشی از اعتبارستنجدی مدل استفاده شده در شکل(۳) ارایه شده است.



شکل ۱- مدل دو کابلی چند قسمتی اکسون پستانداران. مدل از ۵۱ گره‌ی رانوی تشکیل شده که توسط ۵۰ ناحیه بین گره‌ای از هم جدا شده‌اند. هر بخش بین گره‌ای مدل، از ۲ بخش اتصال مایلین پارانودی (MYSA)، ۲ بخش اصلی پارانودی (FLUT) و ۶ بخش بین گره‌ای (STIN) تشکیل شده است. دینامیک غشاء در قسمت گره، شامل هدایت سدیمی سریع (Naf) و دائمی (Nap) و دیائیمی (Ks) و هدایت نشی خطي (Lk) که با ظرفیت خازنی غشاء (Cn) موازی شده‌اند می‌باشد. بخش‌های بین گره‌ای به وسیله‌ی یک ساختار دو کابلی از هدایت‌های خطی با نمایش صریح غلاف مایلین (Gm) موازی با (Cm) و غشاء اکسون بین گره‌ای (Gi) موازی با (Gm) می‌شوند (شکل عیناً از مقاله [۱۰] آورده شده است).



شکل ۲- نحوه قرارگیری الکتروودها نسبت به فیبر عصبی برای شبیه‌سازی انسداد فرکانس بالای عصب. الکتروود انسداد در مقابل گرهی وسط از مدل ۵۱ گره‌ای اکسون و در فاصله‌ی ۱ میلیمتری از آن قرار گرفته و موج فرکانس بالا را به عصب می‌رساند. یک الکتروود هم در ابتدای عصب در گرهی صفر در فاصله‌ی ۱ میلیمتری از عصب قرار گرفته که یک پالس تست ساده برای تولید پتانسیل عمل ایجاد می‌کند.



شکل ۳- مقایسه نتیجه حاصل از مدل پیاده‌سازی شده با مقاله [۷Bhadra]. الف-نتیجه حاصل از مدل پیاده‌سازی شده. شکل سمت چپ پتانسیل غشاء در گرهی زیر الکتروود تست را نشان می‌دهد. پالس تست ۴۰ میلی ثانیه پس از شروع تحریک اعمال شده است. پاسخ هجومی اولیه ناشی از الکتروود انسداد نیز به صورت چند پتانسیل عمل در ابتدای تحریک در شکل مشخص هستند. شکل وسط وضعیت پتانسیل غشاء را درست در زیر الکتروود انسداد نشان می‌دهد. دامنه تحریک فرکانس بالا ۱۳۳۴ میکرو آمپر می‌باشد(آستانه انسداد). در شکل راست پتانسیل غشاء در گره انتهایی فیر مشاهده می‌شود. پتانسیل عمل الکتروود تست نتوانسته از محل انسداد عبور کند و به گره انتهایی برسد، اما پاسخ هجومی الکتروود انسداد در گره انتهایی مشاهده می‌شود. ب- این شکل عیناً از مقاله [۷Bhadra] و برای اعتبارسنجی پیاده‌سازی مدل آورده شده است. همانطور که مشاهده می‌شود شکل‌ها تا حد زیادی به یکدیگر شبیه می‌باشند.

الکتریکی سینوسی نسبت به پالس مربعی دوفاز در همان فرکانس، کارائی کمتری برای انسداد عصبی دارد[۸]. برای ارزیابی اولیه شکل موج‌های مربعی نامتقارن، ابتدا شکل موج نامتقارنی اعمال گردید که در آن دامنه فاز منفی دوباره دامنه فاز مثبت و در عوض عرض آن نصف عرض فاز مثبت است. با استفاده از این شکل موج آستانه ایجاد بلوک عصبی برابر ۸۹۱ میکروآمپر بدست آمد. سپس عدم تقارنی بر عکس حالت قبل یعنی با فاز مثبت بزرگتر مورد ارزیابی قرار گرفت که در آن حالت دامنه بلوک‌شدن برابر ۹۶۶ میکروآمپر بدست آمد. آستانه‌های بدست آمده بطور قابل توجهی کمتر از آستانه انسداد برای شکل موج‌های مربعی و سینوسی است. با این حال کارآیی شکل موج نامتقارن با دامنه منفی کوچکتر

یافته‌ها

با شبیه‌سازی تحریک الکتریکی فیر عصبی، کارآیی شکل موج‌های دوفاز نامتقارن برای ایجاد انسداد در هدایت عصبیبا شکل موج‌های متداول سینوسی و مربعی مورد مقایسه قرار گرفت.

آستانه بلوک شدن برای شکل موج سینوسی با فرکانس ۱۰ کیلوهرتز برابر ۱۳۳۴ میکروآمپر بدست آمد. هنگامی که موج مربعی متقارن با همان فرکانس به عصب اعمال شد، آستانه انسداد نسبت به اعمال شکل موج سینوسی کاهش پیدا کرده و به ۱۰۷۱ میکرو آمپر رسید. این موضوع تاییدی بر نتایج گزارش شده توسط Tai و همکاران می‌باشد که جریان

ترین شکل موج با کمترین بار تزریقی به بافت شکل‌وجهای دوفاز نامتقارن با نسبت عرض پالس زیاد می‌باشند. برای بررسی اثر تحریک با فازهای نامتقارن، ابتدا پالس‌های دوفاز نامتقارن با نسبتهای عدم تقارن مختلف در محیط خارج سلولی یک تک فیبر و در فاصله ۱ میلی‌متر از آن اعمال شد، و آستانه بلوک‌شدن برای آن فیبر بدست آمد. نتایج در شکل (۴) مشاهده می‌شود. با افزایش عدم تقارن یعنی افزایش نسبت عرض پالس مثبت به دوره‌ی تناوب، مقدار بار لازم برای ایجاد بلوک عصبی در یک فاز کاهش می‌یابد. در مراحل بعدی و برای بررسی مکانیزم اثر شکل موج مربعی نامتقارن، شکل موجی با نسبت تقارن ۱/۰ مورد استفاده قرار گرفت.

تحلیل مکانیزم برتری شکل موج مربعی نامتقارن: در اکسون با قطر ۱۰ میکرومتر وقتی شکل موج مربعی نامتقارن دارای آستانه انسداد ۲۲۳ میکرو آمپر یعنی ۱ میکرو آمپر بالاتر از آستانه انسداد (و دارای بار معادل ۲۰ نانوکولن در فاز مثبت) می‌باشد طبق شکل ۵-۵. الف ولتاز غشاء در گرهی زیر الکترود و گره‌های مجاور بعد از گذشت یک حالت موقت به یک حالت پایدار با مقدار متوسط بیش از پتانسیل استراحت می‌رسد که به این حالت دی‌پلاریزاسیون حالت پایدار غشاء می‌گویند. به این ترتیب ولتاژ غشاء به طور متوسط در یک مقدار کمتر از صفر و بیشتر از پتانسیل استراحت قرار گرفته که همین امر سبب ایجاد انسداد و عدم شکل گیری پتانسیل عمل می‌شود. همانطور که مشاهده می‌شود پالس تست که در لحظه‌ی ۴۰ میلی ثانیه در گرهی ۱ اعمال شده به صورت نقطه چین قابل مشاهده است و دید خوبی از پتانسیل استراحت غشاء و شکل گیری پتانسیل عمل می‌دهد. شکل ۵-۵ ب پتانسیل غشاء را برای موج مربعی متقاضن در همان آستانه ۲۲۳ در گرهی زیر الکترود انسداد و گره‌های مجاور و همچنین گرهی ابتدایی نشان می‌دهد، همانطور که مشاهده می‌شود این ولتاژ، غشاء را به طور نوسانی دی‌پلاریزه و هایپر پلاریزه می‌کند و ولتاژ در زیر الکترود انسداد در لحظاتی از حد آستانه تحریک بیشتر شده و سبب شکل گیری پتانسیل عمل

اندکی بیشتر است. بنابراین این شکل موج در باقی مطالعه مورد استفاده قرار گرفت.

برای مقایسه‌ی اثر عدم تقارن بر کارآیی تحریک، آستانه جریان برای انسداد معیار مناسبی نیست چرا که متاثر از میزان عدم تقارن است. بنابراین میزان بار در هر فاز از تحریک بعنوان معیار مقایسه در نظر گرفته شد که به صورت زیر تعریف می‌شود:

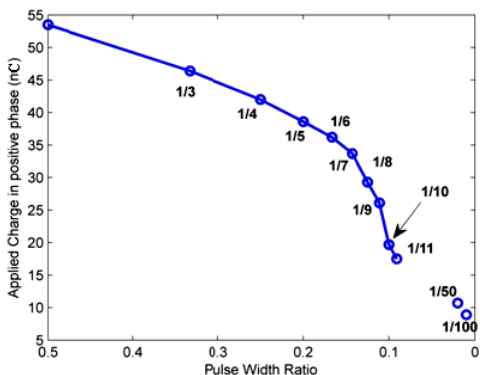
$$C_{Thr} = I_{p+}(Thr) \cdot W_{p+} \quad (2)$$

که در آن C_{Thr} آستانه بار برای ایجاد بلوک عصبی، I_{p+} دامنه جریان فاز مثبت تحریک و W_{p+} عرض فاز مثبت تحریک است.

طبق فرمول بالا میزان بار برای شکل موج مورد استفاده برابر $46/4$ بدست آمد. در ادامه برای بررسی اثر نسبت زمانی دو فاز، مدت زمان فاز مثبت یک سوم مدت زمان فاز منفی و دامنه‌ی آن سه برابر فاز منفی درنظر گرفته شد. به ازای این تحریک، میزان بار تا ۴۲ نانو کولن کاهش پیدا کرد. با تغییر نسبت مدت زمان فازها و دامنه‌ی آنها (به طوری که سطح زیر نمودار صفر باقی بماند) طبق شکل (۴) مشاهده می‌شود که با افزایش عدم تقارن یعنی افزایش نسبت عرض پالس مثبت به دوره‌ی تناوب، مقدار بار (آستانه ضربدر عرض پالس) در یک فاز کاهش می‌یابد.

اگرچه شکل‌موج‌های تک‌فاز برای کاربردهای بالینی یا طولانی مدت مناسب نیستند، اما برای مقایسه، آستانه انسداد برای شکل‌موج‌های DC و مربعی تک‌فاز نیز ارزیابی شد که به ترتیب 435 و 848 میکرو آمپر به دست آمد. برای فراهم شدن امکان مقایسه تحریک DC با شکل‌موج‌های دوفاز، میزان بار تزریق شده در 50 میکرو ثانیه (برابر نصف دوره تناوب موج 10 کیلوهرتز) محاسبه شد که برابر $21/75$ نانوکولن است. این مقدار بیشتر از بار آستانه برای شکل‌موج نامتقارن با نسبت یک دهم و بیشتر می‌باشد. همچنین برای مربعی تک‌فاز میزان بار در یک فاز $42/4$ نانو کولن بدست آمد که بیشتر از بار آستانه برای شکل‌موج دوفاز نامتقارن با نسبت یک چهارم و بیشتر از آن، است. بنابراین نظر می‌رسد مناسب-

در شکل ۷-الف هم مشاهده می‌شود که متغیرهای دریچه‌ای نیز یک دینامیک حالت دائمی را در زیر الکترود انسداد از خود نشان می‌دهند. m (فعالیت کانالهای سدیمی) حول یک محدوده‌ی وسیع نوسان می‌کند) بخاطر ثابت زمانی سریعتر) در حالیکه h (غیرفعال شدن کانالهای سدیمی) حول مقدار کمینه دارای یک نوسان با محدوده‌ی باریک است. به نظر می‌رسد همین حالت پایدار بدون تغییر دریچه‌ها مانع از شکل گیری پتانسیل عمل می‌شود. در شکل ۷-ب نیز وضعیت این پارامترها برای موج مربعی متقارن نشان داده شده است که m بین مقدار $1/3$ تا 1 در نوسان بوده و زمانی که مقدار آن به حدود $1/8$ می‌رسد کانالهای h هنوز مقدار کمی باز هستند و در این حالت یک جریان سدیمی به عصب وارد می‌شود و به دلیل کم بودن چگالی کانالهای پتانسیمی علیرغم اینکه فعالیت آنها در سطح بالایی است ولی تاثیر کمی داشته و در نتیجه یک پتانسیل عمل شکل میگیرد و هنگامی که m به ماکریم خود میرسد کانالهای h بسته شده و مقدار بالای S رپلاریزاسیون داریم و یک پتانسیل عمل به طور کامل شکل میگیرد تا تناوب بعدی که باز h و m هردو باز باشند و یک پتانسیل عمل دیگر شکل گیرد.

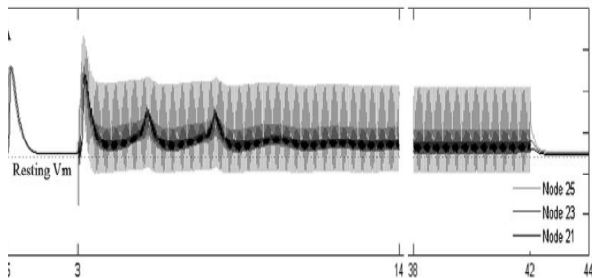


شکل ۴-۴۴-میزان بار آستانه اعمال شده توسط الکترود برای تحقق انسداد عصبی در فیبر مورد بودسی برای شکل موج مربعی متقارن با نسبت‌های عرض پالس (عرض پالس مثبت نسبت به یک دوره تناوب) مختلف. همانطور که مشاهده می‌شود با افزایش عدم تقادرن، میزان بار آستانه کاهش پیدا می‌کند و در نتیجه شکل موج مناسبتر می‌باشد. دو نقطه‌ی انتهایی نیز برای نسبت‌های $1/50$ و $1/100$ رسم شده است که حالت نزولی را البته با اختلاف کمتر نشان می‌دهد. برای نسبت‌های بیش از $1/50$ برای کاهش احتمال خطأ در روش حل عددی، فاصله‌های زمانی $1/100$ میلی ثانیه قرار داده شده است.

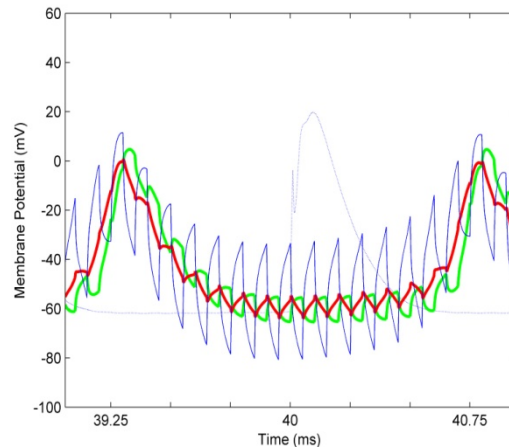
می‌شود. از انجا که در این دامنه اکسون دچار حالت آتش مکرر می‌شود، برای مقایسه بهتر شکل ۵-ج نیز اضافه گردید که مربوط به شکل موج مربعی متقارن با دامنه 10^{-6} می‌باشد و اکسون دچار حالت انسداد نمی‌شود. در این حالت مقدار متوسط ولتاژ در زیر الکترود انسداد مقدار ثابتی است و تقریباً برابر با شکل موج مربعی نامتقارن. اما ماکریم مقدار ولتاژ برابر 50 میلی ولت می‌باشد که در مقایسه با شکل موج مربعی نامتقارن مقدار بسیار بیشتری بوده و برای همین انسداد حاصل نمی‌شود.

شکل ۶-الف وضعیت جریانهای یونی در گرهی زیر الکترود انسداد (گرهی ۲۵) را برای شکل موج مربعی نامتقارن و دامنه 223 میکروآمپر نشان می‌دهد. همچنین جریان سدیمی در گرهی ابتدایی و هنگام اعمال پالس تست برای مقایسه به صورت خط چین رسم شده است. همانطور که مشاهده می‌شود ماکریم جریان سدیمی در این حالت از جریان سدیمی لازم برای شکل گیری پتانسیل عمل کمتر است. جریانهای سدیمی دائمی دارای مقدار نزدیک به صفر و جریان پتانسیمی نیز به دلیل کم بودن چگالی کانالهای پتانسیمی در مقابل جریان سدیمی در به وجود آمدن انسداد بی‌تأثیر است. پس در نتیجه این میزان جریان سدیمی نمی‌تواند باعث ایجاد پتانسیل عمل شود و انسداد رخ می‌دهد. در شکل ۶-ب برای شکل موج مربعی متقارن در همان دامنه همانطور که مشاهده می‌شود جریان سدیمی در زیر الکترود انسداد دارای نوسان بوده و در بعضی نقاط برابر مقدار جریان سدیمی لازم برای شکل گیری پتانسیل عمل شده (در مقایسه با جریان سدیمی گرهی صفر در لحظه‌ی اعمال پالس تست که سبب ایجاد پتانسیل عمل شده است). به همین دلیل به طور مکرر پتانسیل عمل در این حالت به وجود آمده و انسداد حاصل نمی‌شود. در شکل ۶-ج هم ماکریم جریان سدیمی بیشتر از ماکریم جریان سدیمی برای شکل موج مربعی نامتقارن است ولی چون میانگین ثابتی دارد فقط یک بار پتانسیل عمل شکل گرفته و نه مسدود شده و نه دچار آتش مکرر می‌شود.

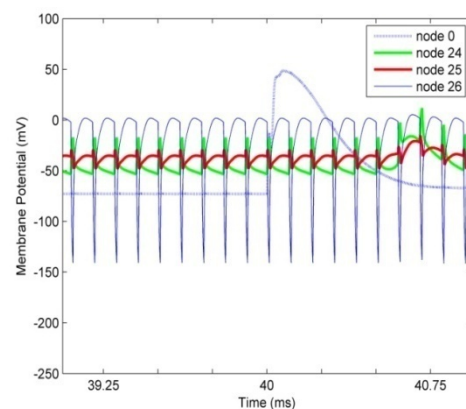
(الف)



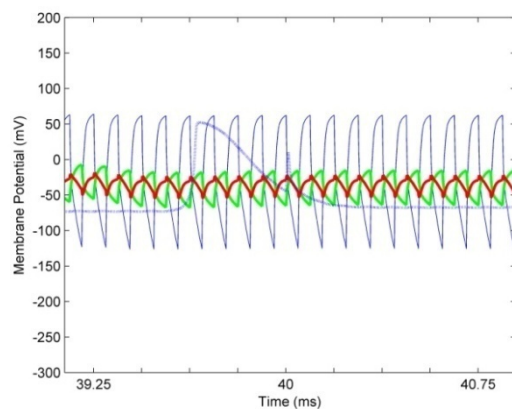
شکل ۵- ولتاژ غشاء در زیر الکتروود انسداد و دو گرهی کناری در لحظات نزدیک به اعمال پالس تست (۴۰ میکرو ثانیه). (الف) برای شکل موج مربعی نامتقارن و ۵امنه ۲۲۳ میکرو آمپر که ۱ میکرو آمپر از آستانه انسداد بیشتر است. همانطور که مشاهده می‌شود غشاء به طور ثابت دپلاریزه شده است. (ب) برای شکل موج مربعی متقارن و در همان دامنه ۲۲۳ میکرو آمپر که بسیار پایین‌تر از آستانه انسداد آن است و آتش مکرر رخ می‌دهد. همانطور مشاهده می‌شود غشاء مدام دپلاریزه و هایپرپلاریزه شده و انسداد حاصل نمی‌شود. (ج) برای شکل موج مربعی نامتقارن با دامنه ۱۰۶۰ که ۱۰ میکرو آمپر از آستانه انسداد است و حالت عدم انسداد داریم، در اینجا متوسط ولتاژ تقریباً با موج مربعی نامتقارن برابر است ولی ماسکریم مقدار ولتاژ حدود ۵۰ میلی‌ولت بیش از شکل الف می‌باشد. قطر اکسون ۱۰ میکرومتر و فرکانس تحریک ۱۰ کیلوهرتز می‌باشد. شکل (د) عیناً از مقاله [۷] آورده شده و ولتاژ غشاء را در گره‌های اطراف و زیر الکتروود نشان می‌دهد و همانطور که مشاهده می‌شود اگر قسمت پایدار شکل یعنی از زمان ۱۴ میلی ثانیه به بعد را با بزرگنمایی مشاهده کنیم مانند شکلهای الف و ج می‌باشد که دپلاریزاسیون حالت پایدار باعث انسداد شده است

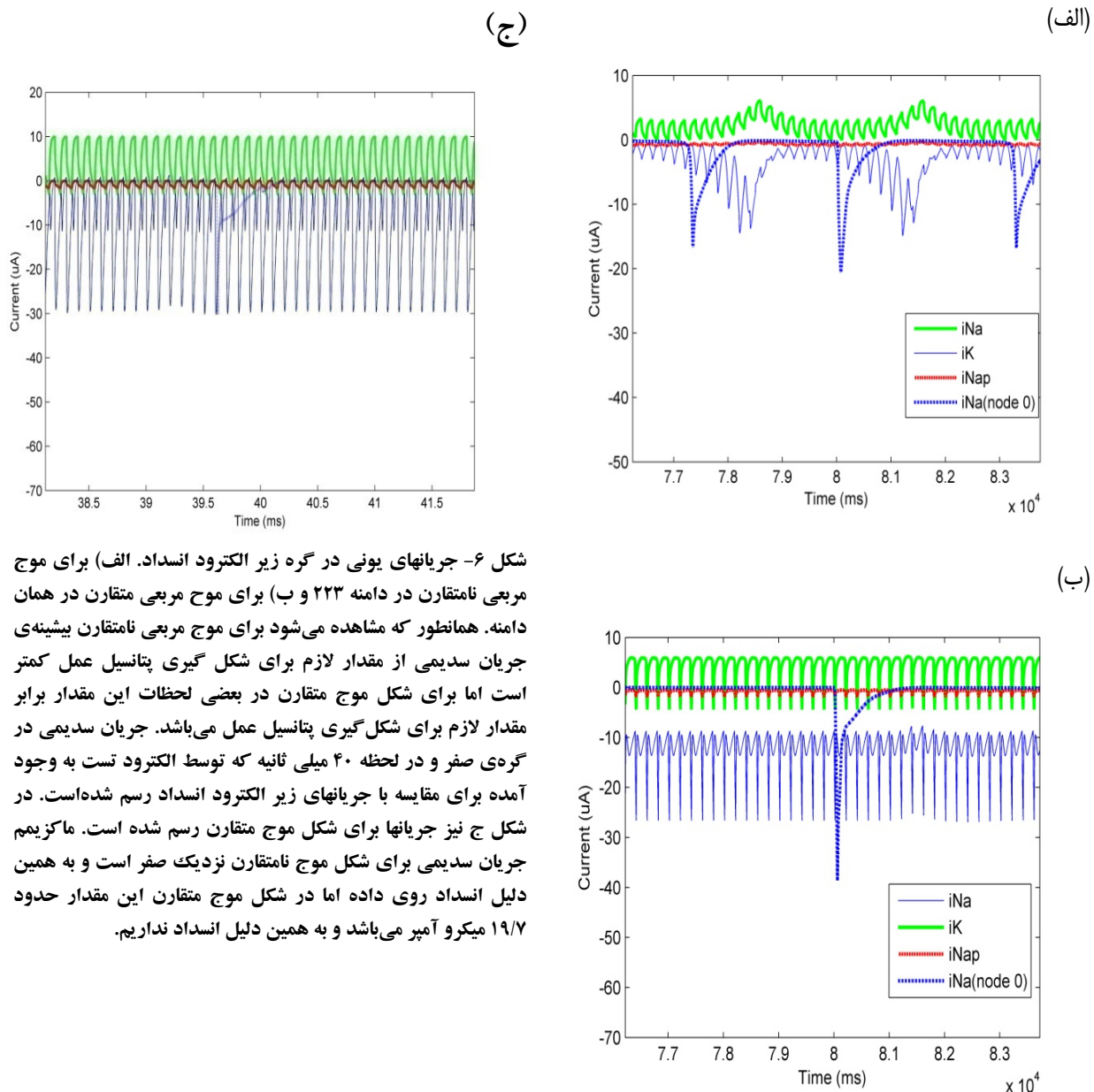


(ب)



(ج)

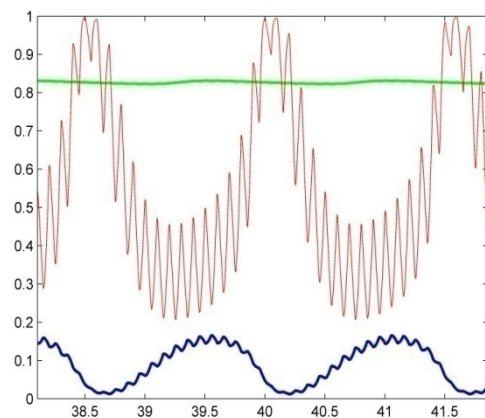




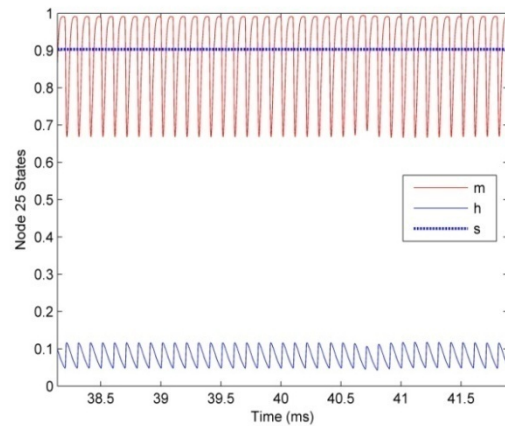
شکل ۶- جریانهای یونی در گره زیر الکترود انسداد. (الف) برای موج مرتعی نامتقارن در دامنه ۲۲۳ و (ب) برای موج مرتعی متقارن در همان دامنه. همانطور که مشاهده می‌شود برای موج مرتعی نامتقارن پیشینه‌ی جریان سدیمی از مقدار لازم برای شکل گیری پتانسیل عمل کمتر است اما برای شکل موج متقارن در بعضی لحظات این مقدار برابر مقدار لازم برای شکل گیری پتانسیل عمل می‌باشد. جریان سدیمی در گرهی صفر و در لحظه ۴۰ میلی ثانیه که توسط الکترود انسداد رسم شده است. در آمده برای مقایسه با جریانهای زیر الکترود انسداد رسم شده است. در شکل ج نیز جریانها برای شکل موج متقارن رسم شده است. مأکریم جریان سدیمی برای شکل موج نامتقارن نزدیک صفر است و به همین دلیل انسداد روی داده اما در شکل موج متقارن این مقدار حدود ۱۹/۷ میکرو آمپر می‌باشد و به همین دلیل انسداد نداریم.

(الف)

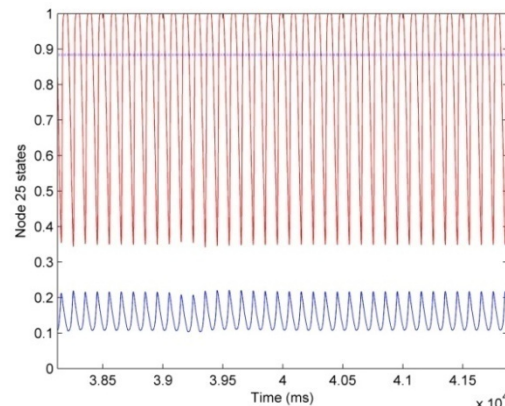
شکل ۷- وضعیت متغیرهای دریچه‌ای در زیر الکترود انسداد.(الف) در شکل موج نامتقارن در دامنه ۲۲۳ میکرو آمپر وضعیت دریچه‌ها یک حالت پایدار بدون تغییر دارد. (ب) شکل موج متقاضن در همان دامنه مشاهده می‌شود که در حال نوسان بین 0.3 تا 1 و h در حال نوسان بین صفر تا 0.2 می‌باشد. (ج) شکل موج متقاضن برای دامنه 1060 میکرو آمپر که حالت عدم انسداد داریم. m فعال شدن دریچه‌های سدیمی، h غیرفعال شدن دریچه‌های سدیمی و s فعال شدن دریچه‌های سدیمی را نشان می‌دهد. میانگین m در شکل (الف) برابر 0.9 ، شکل (ب) در نوسان است و در شکل (ج) برابر 0.8 می‌باشد.



(ب)



(ج)



بحث

نتایج اولیه بدست آمده در این مطالعه با نتایج مطالعات مشابه هماهنگی دارد و این امر می‌تواند تاییدی بر صحبت پیاده‌سازی مدل و اعتبار نتایج باشد. برای مثال پایین‌تر بودن آستانه انسداد عصبی برای شکل موج مستطیلی در مقایسه با شکل موج سینوسی مشابه نتایج گزارش شده توسط Tai و همکاران [۸] است که تاکید کرده است جریان الکتریکی سینوسی نسبت به پالس مربعی دوفاز در همان فرکانس، کارائی کمتری برای انسداد عصبی دارد. همچنین در شکل ۵-۵ د پتانسیل غشاء در گره زیر الکترود از مرجع [۷] آورده شده که مطابق با نتایج بدست آمده در این تحقیق (شکلهای ۵-ب و ۵-ج) بوده و نشان می‌دهد که پتانسیل غشاء در پاسخ به تحريك متنابوب سینوسی فرکانس بالا در یک حالت دیلاریزه نگهداشته شده است. پس در مجموع به نظر می‌رسد که شکل موج مربعی نامتقارن نیز مانند آنچه Bhadra و همکاران [۷] در مورد شکل موج سینوسی دریافته بودند به وسیله‌ی یک دیپولاریزاسیون حالت پایدار غشاء باعث انسداد پتانسیل عمل می‌شود.

در مجموع به نظر می‌رسد با اعمال شکل موج مربعی به دلیل اینکه مطابق شکل ۷-ج فعالسازی کانالهای سدیمی در یک محدوده‌ی وسیع در نوسان است، کانالهای سدیمی باز و بسته می‌شوند و پتانسیل عمل شکل گرفته و انسداد نمی‌یابد، اما با اعمال شکل موج نامتقارن فعالسازی کانالهای سدیمی

عبور یک پتانسیل عمل بسته باقی می‌مانند. در نتیجه موج مربعی نامتقارن با تولید یک ناحیه که به طور ثابت دیپلاریزه شده، باعث انسداد می‌شود. در حالی که چون از تحریک دوفاز استفاده می‌شود میزان بار خالص تزریقی به بافت صفر است. به دلیل چگالی کم کانال‌های پتانسیمی در اکسون مایلین-

دار پستانداران مکانیزم متفاوت با مطالعه بر روی مدل HH برای اکسون بدون مایلین که فعال شدن کانالهای پتانسیمی ممکن برای انسداد اکسون بدون مایلین به وسیله جریان متناوب فرکانس بالای دو فاز (مربعی یا سینوسی) معروفی شده^[۸] بدست آمد. شبیه مطالعه بر روی مدل MRG برای اکسون مایلین دار^[۷] که توسط شکل موج سینوسی به دست آمده و مکانیزم انسداد فرکانس بالا را دیپلاریزاسیون حالت پایدار غشاء معرفی کردند، شکل موج مربعی نامتقارن نیز با یک دیپلاریزاسیون حالت پایدار غشاء باعث انسداد عصب شد.

نتیجه‌گیری

نتایج شبیه‌سازی کامپیوتری اثر تحریک فرکانس بالای متناوب بر فیبرهای عصبی، نشان می‌دهد که شکل موج مربعی با دوفاز نامتقارن کارآیی بالایی در ایجاد بلوک عصبی دارد بدین معنی که ایجاد بلوک عصبی با دامنه بسیار کمتری قابل تحقق است. این نتیجه انجام آزمون‌های تجربی در این زمینه را پیشنهاد می‌کند که می‌تواند باعث ارتقای تکنیک‌های درمانی شود.

حدودیت‌ها

این مطالعه به بررسی پاسخ یک فیبر عصبی به تحریک الکتریکی پرداخته است. نتایج جامعتری با بررسی پاسخ جمعیتی از فیبرهای عصبی به تحریک الکتریکی و ارزیابی آماری پاسخ‌ها قابل حصول است.

کارآیی شکل موج پیشنهادی با استفاده از شبیه‌سازی کامپیوتری مورد ارزیابی قرار گرفته است. محدودیت‌ها و ساده‌سازی‌های ذاتی مدل‌های ریاضی در مقایسه با واقعیت‌های تجربی باید در نظر گرفته شود که ضرورت تایید این نتایج با انجام آزمون‌های تجربی را مشخص می‌کند.

در مقادیر بالا و با یک تغییرات کمتری حفظ شده و همین حالت پایدار سبب انسداد می‌شود.

مدل MRG مدلی بسیار دقیق برای فیبرهای مایلین دار اعصاب محیطی پستانداران می‌باشد. همانطور که مشاهده شد شکل موج مربعی نامتقارن تا حد بسیار زیادی توانست آستانه انسداد و همینطور میزان بار تزریقی به بافت را کاهش دهد که از نظر آسیب‌رسانی کمتر به بافت و الکترود در دراز مدت دارای اهمیت است. همچنین رابطه‌ی آستانه انسداد و فرکانس تحریک فیبر و همچنین رابطه‌ی آستانه انسداد و فرکانس تحریک برای شکل موج ابداعی محاسبه شد که این روابط از لحاظ کیفی کاملاً منطبق بر روابطی است که با اعمال شکل موج‌های دیگر و روی مدل‌های دیگر بدست آمده است.

انسداد هدایت الکتریکی عصب به وسیله‌ی جریان‌های فرکانس بالا به دلیل پارهای از مشکلات از جمله پاسخ هجومی اولیه (فعالیت عصبی گذراي ایجاد شده در شروع اعمال تحریک که می‌تواند دردآور باشد یا لرزش و انقباض عضلات را افزایش دهد) و زیاد بودن جریان تزریقی به بدن در دراز مدت، همچنان در سطح تحقیقاتی است. ارائه‌ی این شکل موج ابداعی که میزان بار تزریقی به بافت را تا حد چشمگیری کاهش می‌دهد، می‌تواند گام موثری برای تحقق بکارگیری بالینی این روش شود. البته هنوز مشکل پاسخ هجومی اولیه پابرجاست و با این شکل موج، کاهشی در پاسخ هجومی داده نشده است.

مطالعه بر روی مکانیزم انسداد به وسیله شکل موج مربعی نا متقارن نشان داد که ولتاژ غشاء در گرهی زیر الکترود و گره‌های مجاور بعد از گذشت یک حالت موقت به یک حالت پایدار با مقدار متوسط بیش از پتانسیل استراحت می‌رسد که به این حالت دیپلاریزاسیون حالت پایدار غشاء می‌گویند. به این ترتیب ولتاژ غشاء به طور متوسط در یک مقدار کمتر از صفر و بیشتر از پتانسیل استراحت قرار گرفته که همین امر سبب ایجاد انسداد و عدم شکل گیری پتانسیل عمل می‌شود. دیپلاریزاسیون غشاء عصب باعث افزایش آستانه فعالیت و تولید انسداد هدایت می‌شود، چون دریچه‌های سدیمی بعد از

پیشنهادها

همچنین یکی از مسائل مهمی که در این تحقیقات باید مورد توجه قرار بگیرد این است که آیا مدل استفاده شده می-تواند رفتار عصب را در فرکانسهای بالا به خوبی توجیه کند یا خیر. به عنوان مثال برخی از مدل‌هایی که برای شبیه‌سازی فیر عصبی به کار می‌روند ممکن است در فرکانسهای بالا معتبر نباشند^[۱۴]. توجه به این نکته ضروری به نظر می‌رسد که پدیده‌های فوق بر اساس مدل ریاضی، مشاهده شده و باید توسط آزمایشات عملی بر روی حیوانات اعتبارسنجی شود.

تشکر و قدردانی

این مطالعه توسط دانشگاه اصفهان حمایت شده است.

مطالعات نشان داده که سریعترین انسداد با حداقل پاسخ هجومی اولیه، در بیشترین فرکانس و بیشترین دامنه رخ می-دهد^[۱۲]. ترکیب این نتیجه با نتایج مقاله حاضر می‌تواند علاوه بر کاهش بار تزریقی برای انسداد، پاسخ هجومی اولیه را نیز حداقل نماید. این امکان وجود دارد که در ابتدا تحریک را با فرکانس و دامنه بیشینه انجام داده و سپس با ثابت نگه داشتن دامنه و کاهش فرکانس، انسداد همچنان باقی بماند. سپس می‌توان بدون از بین رفتن انسداد، دامنه را تا حد زیادی اولیه، بار کمتری به بدن می‌رسد و آسیب رسانی به بافت کمتر است^[۱۳].

این روش ترکیبی می‌تواند افق روشنی را در بهبود انسداد اعصاب محیطی به منظور استفاده از این روش به عنوان یک روش ایمن و با بازگشت پذیری سریع به وجود آورد.

References

1. Bhadra N., Kilgore K., Creasey GH., Block of Mammalian Motor Nerve Conduction Using High Frequency Alternating Current, 10th Annual Conference of the International FES Society, Montreal, Canada, 2005.
2. Ackermann D.M., Foldes E.L., Bhadra N., Kilgore K.L., Nerve conduction block using combined thermoelectric cooling and high frequency electrical stimulation, Jour Neurosci Meth, 2010, 193:72–76.
3. Kilgore K., Bhadra N., Nerve conduction block utilizing high-frequency alternating current, Med & Biol Eng & Comput, 2004, 42:394-406.
4. Shaker H.S., Tu L.M, Robin S., Arabi K., Hassouna M., Sawan M. and Elhilali M. M., Reduction Of Bladder Outlet Resistance By Selective Sacral Root Stimulation Using High-Frequency Blockade in Dogs: An Acute Study, Journal Urology, 1998, 160:901-907.
5. Joseph L., and Butera R. J., High Frequency Stimulation Selectively Blocks Different Types of Fibers in Frog Sciatic Nerve, IEEE Trans Neural Sys Rehab Eng, 2011, 19:550–557.
6. Tai, C., J. R. Roppolo, W. C. de Groat, Block of external urethral sphincter contraction by high frequency electrical stimulation of pudendal nerve." J Urol 172(5 Pt 1): 2069-72. 2004.
7. Bhadra N., Lahowetz E.A., Foldes S.T, Kilgore K.L., Simulation of high-frequency sinusoidal electrical block of mammalian myelinated axons, J ComputNeurosci, 2007, 22:313–326.
8. Tai Ch., de Groat W.C., and Roppolo J.R., Simulation of Nerve Block by High-Frequency Sinusoidal Electrical Current Based on the Hodgkin–Huxley Model, IEEE Trans Neural Syst RehabEng, 2005, 13(3).

9. Tai Ch., de Groat W.C, and Roppolo J.R., Simulation Analysis of Conduction Block in Unmyelinated Axons Induced by High Frequency Biphasic Electrical Currents, IEEE Trans Biomed Eng., 2005, 52(7):1323.
10. McIntyre C.C., Richardson A.G., And Grill W.M., Modeling the Excitability of Mammalian Nerve Fibers: Influence of After potentials on the Recovery Cycle, J Neurophysiol, 2002, 87:995–1006.
11. Richardson A.G., McIntyre C.C., Grill W.M., Modeling the effects of electric fields on nerve fibers: influence of the myelin sheath, Med. Biol. Eng. Comput. 2000, 38:438-446.
12. Bhadra N., And Kilgore K.L., High-Frequency Electrical Conduction Block Of Mammalian Peripheral Motor Nerve, Muscle& Nerve, 2005, 32:782–790.
13. Gerges M., Foldes E.L, Ackermann DM., Bhadra N., and Kilgore K.L., Frequency- and amplitude-transitioned waveforms mitigate the onset response in high-frequency nerve block, J. Neural Eng., 2010, 7. 544.
14. Arianfar A.R., Mahnam A., “Simulation of nerve conduction block using high frequency currents based on the CRRSS model”, proceedings of the 18th Iranian conference of Biomedical Engineering, Tehran, 2010 [In Persian].

Simulation of Fiber Conduction Block Using High Frequency Alternating Current with Asymmetric Biphasic Waveform and its Mechanism of Action

Alireza Arianfar¹, Amin Mahnam^{*}

Original Article

Abstract

Introduction: High frequency alternating current is a safe, reversible and selective method for nerve conduction block that has been under study during the last decade as a treatment for the diseases involving abnormal neural impulses. However, reducing the stimulus amplitude, and the undesired onset response, as well as optimizing the stimulus parameters for more effective block is still researchable. In this article, simulation of the electrical stimulation of neural fibers was used to study the efficiency of the asymmetric biphasic waveforms in inducing the block condition, and to investigate its mechanism of action.

Materials and Methods: Computer simulations were carried out based on a detailed model of mammalian peripheral nerve fibers. Electrical stimulation of a 51-node axon with two point-source electrodes was simulated, one for inducing conduction block, and the other for applying a test stimulus. Asymmetric biphasic waveform was applied and the neural responses including the block phenomena and its mechanism were studied .

Results: High frequency stimulation induces three different responses in the fiber, based on its amplitude and position related to the electrode: no excitation, repetitive excitation and block. The proposed waveform provides lower block thresholds and by increasing the asymmetry of the waveform, the net charge required to induce conduction block was significantly reduced in comparison with the sine and symmetric rectangular waveforms. The stimulation increases the average membrane voltage and this is higher when asymmetric waveform is used which can explain the higher efficiency of this waveform for inducing conduction block.

Conclusion: Lower thresholds for the proposed waveform is very important in clinical use of the high frequency alternating currents due to higher efficiency of the stimulation, lower power consumption of the stimulator, and lower side effects of the stimulation, and can be considered as a step towards the clinical use of high frequency stimulations.

Keywords: High Frequency Alternating Current, Asymmetric Rectangular Waveform, Nerve Conduction Block, Computer Simulation

Citation: Arianfar A, mahnam A. **Simulation of Fiber Conduction Block Using High Frequency Alternating Current with Asymmetric Biphasic Waveform and its Mechanism of Action.** J Res Rehabil Sci 2014; 10 (1): 99-112

Received date: 22/8/2013

Accept date: 11/5/2014

* PhD Assistant Professor Department of Biomedical Engineering School of Engineering University of Isfahan, Isfahan , Iran
(Corresponding Author) Email: mahnam@eng.ui.ac.ir

1- Master of Science Department of Biomedical Engineering School of Engineering University of Isfahan, Isfahan, Iran.